

УДК 004.75:004.896

**ТРАССИРОВКА ЛУЧЕЙ НА РАСПРЕДЕЛЁННОЙ ВЫЧИСЛИТЕЛЬНОЙ СИСТЕМЕ НА ОСНОВЕ ОБЪЕКТОВ ИНТЕРНЕТА ВЕЩЕЙ****Ерёмин О.Ю., Степанова М.В., Пролетарский А.В.***Московский государственный технический университет имени Н.Э. Баумана**(национальный исследовательский университет), Москва,**e-mail: ereminou@bmstu.ru, stepanova@bmstu.ru, pav@bmstu.ru*

В работе представлено решение, позволяющее реализовать алгоритм трассировки лучей для получения изображений трехмерных объектов с использованием распределенной вычислительной системы на основе объектов Интернета вещей. На сегодняшний день вычислительные возможности встраиваемых систем, в том числе на основе объектов Интернета вещей, превышают таковые для классических параллельных и распределенных систем. Использование машинного обучения с подкреплением позволяет построить распределенную вычислительную систему на основе объектов Интернета вещей, таким образом, задействовать неиспользуемые или малоиспользуемые вычислительные мощности, что определяет актуальность данной работы. В качестве демонстрации функционирования такой системы рассмотрен алгоритм трассировки лучей, который имеет высокую степень распараллеливания, когда одна большая вычислительная задача может быть разделена на ряд независимых заданий, которые могут быть выполнены на ненадежных вычислительных узлах, реализованных на основе объектов Интернета вещей. Для проведения эксперимента был разработан стенд, на котором была продемонстрирована возможность использования объектов Интернета вещей для построения распределенной вычислительной системы, а также проведена оценка выполнения задачи трассировки лучей: общее время выполнения задачи в зависимости от количества вычислительных узлов, время выполнения одного задания при разном количестве вычислительных узлов, время выполнения задачи при фиксированном количестве вычислительных узлов в зависимости от размера формируемого изображения. Результаты экспериментов показали, что распределенная вычислительная система на основе объектов Интернета вещей демонстрирует показатели производительности, аналогичные классическим распределенным и параллельным системам.

**Ключевые слова:** интернет вещей, трассировка лучей, распределенная вычислительная система, параллельные системы, обучение с подкреплением

**RAY TRACING ON A DISTRIBUTED COMPUTER SYSTEM BASED ON OBJECTS OF THE INTERNET OF THINGS****Eremin O.Yu., Stepanova M.V., Proletarskiy A.V.***Bauman Moscow State Technical University (National Research University), Moscow,**e-mail: ereminou@bmstu.ru, stepanova@bmstu.ru, pav@bmstu.ru*

The paper presents a solution that allows to implementation of a ray tracing algorithm for constructing three-dimensional objects using a distributed computing system based on Internet of Things objects. At present, the computing capabilities of embedded systems, including those based on Internet of Things objects, exceed those for classical parallel and distributed systems. The application of machine learning with reinforcement allows building a distributed computing system based on objects of the Internet of Things, thus, exploiting unused or underutilized computing power, which determines the actuality of this work. Ray tracing algorithm is considered as a demonstration of the functioning of such a system, which has a high degree of parallelization when one large computational task can be divided into a number of independent tasks that can be performed on unreliable computational nodes implemented based on objects of the Internet of Things. For the experiment, a stand was developed, which demonstrated the possibility of using objects of the Internet of Things to build a distributed computing system, and also assessed the performance of the ray tracing task: the total time to complete the task depending on the number of computing nodes, the time to complete one task with a different number of computing nodes, the task execution time for a fixed number of computational nodes depending on the size of the generated image. The results of the experiments demonstrated that the distributed computing system based on Internet of Things objects demonstrates performance indicators equivalent to classical distributed and parallel systems.

**Keywords:** internet of things, ray tracing, distributed computing system, parallel systems, reinforcement learning

Задача формирования изображений (визуализации) на основе трехмерной модели является одной из важнейших проблем в области компьютерной графики, компьютерной анимации и в системах автоматизированной подготовки производств (САПР). На сегодняшний день существует множество алгоритмов визуализации, которые основаны на различных подходах к получению результирующего изображе-

ния, которые можно разделить на следующие группы:

- проецирование (сюда относится алгоритм растеризации);
- трассировка (прямая и обратная трассировка лучей, трассировка пути).

В первой группе алгоритмов осуществляется проецирование объектов сцены на экран наблюдения; во второй группе алгоритмов используются различные подходы

проведения отдельных лучей между сценой и экраном, на котором формируется изображение. Но в каждом из механизмов получения изображений используется физическая модель сцены и физическая модель луча, поэтому каждый из этих методов требует существенных вычислительных ресурсов для своей работы.

Специализированные вычислительные системы позволяют решить задачу визуализации изображений за приемлемое время и обладают существенными преимуществами перед вычислительными системами общего назначения. Подобные системы могут строиться на принципах параллелизма и повышения степени специализации вычислительных узлов для решения именно задач обработки изображений. Графические процессоры позволяют за счет более простой структуры осуществлять параллельную обработку большого количества элементов изображений, в частности для компьютерных игр, где преобразование осуществляется в режиме реального времени. Во многих областях нет требования к получению итогового изображения в режиме реального времени (например, в анимации или САПР); в таких случаях могут использоваться многоядерные процессоры, а также распределенные системы.

В настоящее время большинство вычислительных ресурсов сосредоточено во встраиваемых системах, к которым можно отнести также объекты Интернета вещей (ИВ, IoT – Internet of Things), представляющие собой множество вычислительных узлов гетерогенной структуры.

Спецификой вычислительной системы на основе ИВ (Интернета вещей) является:

- гетерогенность узлов, высокое разнообразие технологического стека;
- использование беспроводных сетей;
- наличие нескольких режимов работы у встроеного микропроцессора.

В работах [1–3] продемонстрирована возможность построения вычислительной системы на основе объектов ИВ.

В данной работе приводится подход по реализации алгоритма трассировки лучей для получения изображений по модели сцены. Данный подход реализован с использованием распределенной вычислительной системы на основе объектов ИВ.

## Материалы и методы исследования

### 1. Трассировка лучей

В основе трассировки лучей (Ray tracing) лежит идея отслеживания взаимодействия отдельных лучей с поверхностями объектов [4]. Сами объекты и лучи описываются в виде математических моделей. Наборы моделей объектов, изображения которых необходимо получить, формируют собой сцену. Отраженное освещение от объектов сцены проходит к точке обзора (камера), где расположен наблюдатель. Наблюдатель не может видеть всей сцены, а только её часть, которая видна в так называемое окно просмотра (viewport). Камера (наблюдатель), окно просмотра и сцена являются элементами схемы трассировки лучей.

Элементы схемы трассировки лучей показаны на рис. 1.

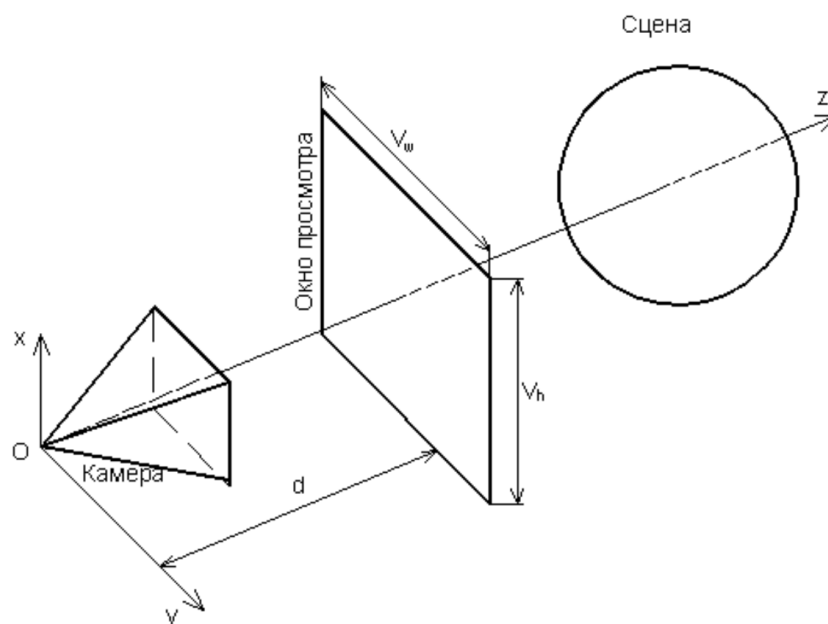


Рис. 1. Элементы схемы трассировки лучей

Существует несколько подходов к трассировке лучей:

- прямая трассировка, когда рассматривается луч, идущий от объектов сцены до камеры;

- обратная, когда рассматривается луч, идущий от камеры к объекту сцены.

В первом случае возможна более глубокая проработка изображения, так как позволяет проработать взаимное влияние лучей друг на друга (например, отраженный от одного объекта сцены, свет влияет на освещение других объектов сцены), даже если в итоге не все лучи попадают в камеру. Данный подход требует больших вычислительных затрат.

Второй подход требует меньше вычислений: так, отслеживаются только лучи, которые попадают в камеру. Необходимо отметить, что при обратной трассировке луча также можно учитывать влияние лучей друг на друга, но при этом можно задавать степень влияния лучей друг на друга, в результате чего получаемые изображения могут иметь различную степень «реалистичности».

Для реализации алгоритма обратной трассировки лучей использована схема, показанная на рис. 1. На схеме имеются следующие допущения:

- положение камеры фиксировано в начале координат – точка  $O(O_x, O_y, O_z) = O(0, 0, 0)$ ;
- ориентация камеры фиксирована вдоль оси  $Oz$ ;

- окно просмотра расположено перпендикулярно оси ориентации камеры и расположено на расстоянии  $d$  от камеры;

- окно просмотра имеет размеры  $V_w$  и  $V_h$ , а его стороны параллельны осям  $Ox$  и  $Oy$ .

Область видимости (field of view) определяется размером окна просмотра и расстоянием до камеры. Холст изображения сопоставляется с окном просмотра. Сам холст состоит из элементов изображений – пикселей (pixel – picture element), размер холста в пикселях определяет разрешение получаемого изображения. На окно просмотра наносится сетка, ячейки которой ставятся в соответствие с каждым элементом изображения.

Таким образом, можно описать алгоритм получения изображения трехмерного объекта в общем виде:

Шаг 0. Начало алгоритма.

Шаг 1. Разместить камеру и окно просмотра в необходимых местах.

Шаг 2. Для каждого пикселя холста выполнить:

Шаг 2.1. Определить квадрат сетки окна просмотра, который соответствует данному пикселу.

Шаг 2.2. Определить цвет, который виден через квадрат сетки.

Шаг 2.3. Закрасить пиксел полученным цветом.

Шаг 3. Конец алгоритма.

Как видно из алгоритма, каждый пиксел не зависит от других пикселей, подобная задача имеет высокую степень распараллеливания и может быть решена на распределенной вычислительной системе.

2. *Распределенная вычислительная система на основе объектов Интернета вещей*

Задача по трассировке лучей заключается в распределении заданий по узлам распределенной вычислительной системы. В роли такой системы может выступать распределенная система на основе объектов ИВ, вычислительный процесс в которой реализован на основе машинного обучения с подкреплением [5], в частности на основе алгоритма многорукого бандита.



Рис. 2. Схема взаимодействия агента и окружающей среды

Структура вычислительной системы на основе объектов ИВ может быть представлена взаимодействием агента и окружающей среды (рис. 2). В качестве среды в данной инфраструктуре выступают вычислительные узлы, построенные на основе объектов ИВ. Характеристики окружающей среды определяются числом вычислительных узлов и их характеристиками (пропускная способность линий связи, частота и режим работы процессора, объем памяти и т.п.).

В качестве агента выступает реализуемый на центральном управляющем узле распределительный узел, который выполняет разделение исходного алгоритма на относительно независимые задания, которые будут затем отправлены на вычислительные узлы. Несмотря на то, что спецификой распределенной вычислительной системы на основе объектов ИВ является невозможность определения текущего состояния каждого вычислительного узла, распределяющему узлу не требуется строить модель окружающей среды, поскольку он принимает решения на основании реакций (воз-

награждений), получаемых от окружающей среды, а также на основании предпринятых ранее действий.

Особенностью алгоритма распределения заданий по вычислительным узлам является его реализация на основе машинного обучения с подкреплением, то есть агент самостоятельно определяет стратегию своего поведения в зависимости от состояния окружающей среды и постоянно адаптируется к ее изменениям.

В алгоритме распределения заданий можно выделить два режима работы:

- режим исследования (exploration), когда алгоритм «пробует» новые действия;
- режим использования (exploitation), когда алгоритм выполняет только те действия, которые могут дать максимальный результат на текущем шаге.

Баланс между режимами исследования и использования определяется параметром  $\epsilon$ , где при значении параметра, равном 0, агент не пытается выполнять новые действия, а выполняет только действия, дающие наибольшее вознаграждение (так называемая жадная стратегия). Если параметр равен 1, то алгоритм на каждом этапе случайным образом выбирает новое действие.

Таким образом, можно сформулировать алгоритм решения задачи по трассировке лучей по вычислительным узлам:

Шаг 0. Начало алгоритма. Распределяющий узел получает характеристики сцены (модели трехмерных объектов), камеры, окна просмотра.

Шаг 1. Задача разбивается на последовательность заданий (окно просмотра разбивается на сетку и каждая её ячейка сопоставляется с пикселем холста).

Шаг 2. Распределяющий узел оценивает состояние вычислительных узлов: определяется вероятность (готовность) каждого вычислительного узла для принятия задания.

Шаг 3. Распределяющий узел в соответствии со значениями вероятностей назначает задания вычислительным узлам, которые дадут максимальное вознаграждение.

Шаг 4. Распределяющий узел отправляет задания на вычислительные узлы.

Шаг 5. Вычислительные узлы выполняют задания и отправляют результаты на распределительный узел, который пересчитывает значения вознаграждения для каждого из вычислительных узлов.

Шаг 6. Если есть еще вычислительные задания, то переход на Шаг 3, иначе – переход на Шаг 7.

Шаг 7. Конец алгоритма.

В соответствии с [1–3] при времени работы алгоритма, стремящемуся к бесконеч-

ности, будет получен результат близкий к оптимальному, то есть агент выработает такое поведение с переменчивой средой, что распределенная вычислительная система на основе объектов ИВ не будет иметь отличий от обычной классической параллельной вычислительной системы.

### 3. Алгоритм трассировки лучей для распределенной системы

Рассмотрим подробнее Шаг 2 алгоритма получения изображения. Также будут использованы указанные ранее допущения на размещение камеры, окна просмотра и их параметров, также для простоты не будет учитываться модель освещения сцены. В качестве сцены будет рассмотрена модель одного объекта – сфера.

Пусть  $C_x$  и  $C_y$  – координаты пиксела на холсте, тогда переход от координат холста к координатам точки пространства  $V = (V_x, V_y, V_z)$  будет определяться следующими уравнениями:

$$\begin{cases} V_x = C_x \frac{V_w}{C_w}, \\ V_y = C_y \frac{V_h}{C_h}, \\ V_z = d, \end{cases} \quad (1)$$

где  $C_w$  – ширина холста,  $C_h$  – высота холста.

Луч, исходящий от камеры (начала координат), может быть описан следующим параметрическим уравнением:

$$P = O + t(V - O), \quad (2)$$

где  $t \in \mathbb{R}$  – некоторое произвольное число, а  $P$  – произвольная точка луча.

Лучи, направленные от камеры, проходят через экран и окно наблюдения, пока не столкнутся со сферой, описанной следующим уравнением:

$$|P - C| = r, \quad (3)$$

где  $P$  – точка на поверхности сферы,  $C$  – центр сферы, а  $r$  – радиус сферы.

Если в уравнении (2) принять  $(V - O) = \vec{D}$ , а также учесть, что  $|P - C|$  – длина вектора  $\overline{PC}$ , определяемая как корень квадратный из его скалярного произведения на самого себя, то можно получить следующую систему уравнений:

$$\begin{cases} P = O + t \cdot \vec{D}, \\ |P - C|^2 = r^2, \end{cases} \quad (4)$$

решением которой будет точка пересечения луча со сферой.



Если преобразовать уравнение к виду

$$t^2 \vec{D}, \vec{D} + t(2 \cdot \vec{OC}, \vec{D}) + \vec{OC}, \vec{OC}, \quad (5)$$

где  $\vec{OC} = O - C$ , а затем совершить замену  $k_1 = \vec{D}, \vec{D}$ ,  $k_2 = 2\vec{OC}, \vec{D}$  и  $k_3 = \vec{OC}, \vec{OC}$ , то получим квадратное уравнение:

$$k_1 t^2 + k_2 t + k_3 = 0, \quad (6)$$

решением которого будет

$$\{t_1, t_2\} = \frac{-k_2 \pm \sqrt{k_2^2 - 4k_1 k_3}}{2k_1}. \quad (7)$$

Таким образом, подставив полученные значения в первое уравнение системы, можно получить точку луча, который пересекается со сферой, при этом необходимо выбирать только значения  $t > 1$ , так как именно они соответствуют точкам, расположенным на сцене (при  $t < 0$  точки располагаются за камерой, а при  $t \in [0, 1]$  – между камерой и плоскостью проекции).

Поскольку процедура определения точки пересечения заключается в нахождении корней уравнения (6), которое строится независимо для каждой точки, то для распределения заданий по узлам распределенной вычислительной системы можно выбрать подпрограмму, выполняющую трассировку отдельного луча.

*Алгоритм расчета изображений:*

Шаг 0. Начало алгоритма.

Шаг 1.  $O = (0, 0, 0)$  # Задание координат камеры

Шаг 2. Для каждого пиксела с координатами (x,y) канвы выполнять:

Шаг 2.1.  $D = \text{Канва} \text{КОкн}(\text{x}, \text{y})$  # Преобразование координат пиксела канвы к координатной сетке окна наблюдения

Шаг 2.2. color = Трассировка\_луча (O, D, 1,  $\infty$ )

Шаг 2.3. НарисоватьПиксел (x, y, color)

*Алгоритм подпрограммы вычисления цвета пиксела Трассировка\_луча():*

Подпрограмма Трассировка\_луча (O, D,  $t_{\min}$ ,  $t_{\max}$ ):

Шаг 1. Ближайший\_t =  $\infty$

Шаг 2. Ближайший\_объект = NULL

Шаг 3. Для каждого Объекта сцены:

Шаг 3.1.  $t_1, t_2 = \text{ПересечениеЛучОбъект}(O, D, \text{объект})$

Шаг 3.2. Если  $t_1$  в  $[t_{\min}, t_{\max}]$  и  $t_1 < \text{ближайший\_t}$

тогда ближайший\_t =  $t_1$

ближайший\_объект = Объект

Шаг 3.3. Если  $t_2$  в  $[t_{\min}, t_{\max}]$  и  $t_2 < \text{ближайший\_t}$

тогда ближайший\_t =  $t_2$

ближайший\_объект = Объект

Шаг 4. Если ближайший\_объект = NULL

тогда вернуть Цвет\_белый

иначе вернуть Цвет\_объекта

Шаг 5. Конец подпрограммы Трассировка\_луча

*Алгоритм подпрограммы ПересечениеЛучОбъект:*

Подпрограмма ПересечениеЛучОбъект (O, D, сфера):

Шаг 1. c = сфера. центр

Шаг 2. r = сфера. радиус

Шаг 3.  $OC = O - C$

Шаг 4.  $k_1 = \text{скалярноеПроизведение}(D, D)$

$k_2 = 2 \cdot \text{скалярноеПроизведение}(OC, D)$

$k_3 = \text{скалярноеПроизведение}(OC, OC) - r^2$

Шаг 5. Дискриминант =  $k_2 \cdot k_2 - 4 \cdot k_1 \cdot k_3$

Шаг 6. Если Дискриминант  $< 0$

тогда вернуть  $\infty, \infty$

Шаг 7.  $t_1, t_2 = \frac{-k_2 \pm \sqrt{\text{Дискриминант}}}{2 \cdot k_1}$

Шаг 8. Вернуть  $t_1, t_2$

Шаг 9. Конец подпрограммы ПересечениеЛучОбъект

#### 4. Архитектура системы и экспериментальная установка

Для проведения экспериментов был разработан стенд, состоящий из ряда аппаратных узлов, реализованных на Raspberry Pi, и ряда виртуальных узлов, реализованных на виртуальных машинах. Все устройства соединены между собой с помощью сети: виртуальные узлы посредством виртуальной сети Ethernet, соединенной с помощью моста с физической сетью, а аппаратные устройства подключены непосредственно через точку доступа сети WiFi. Таким образом, все узлы оказываются в одном сегменте сети и могут друг с другом взаимодействовать.

Общее количество вычислительных узлов – 15, из них 10 аппаратных и 5 виртуальных.

Общая архитектура вычислительной системы представлена на рис. 3.

В качестве распределяющего узла используется персональный компьютер, который подключен к точке доступа WiFi по проводному каналу Ethernet.

При разработке объектов интернета вещей используются стандартизированные цифровые платформы (на базе микропроцессоров ARM, Intel), основанные на использовании стандартных компонентов: микропроцессоры, память, периферийные устройства, порты вводы-вывода. Производителей компонентов достаточно большое количество, и в каждом случае компоненты могут иметь свои несущественные особенности, что приводит к тому, что программы для каждой из платформ не могут быть переносимыми, если реализованы на низко-

уровневом языке ассемблера. Именно поэтому для реализации стенда предлагалось использовать языки более высокого уровня – например Си, тем не менее специфика каждой платформы дает о себе знать. Для нивелирования особенностей платформ используется операционная система GNU/Linux: для виртуальных узлов – Ubuntu, для аппаратных узлов – Raspbian.

В качестве языка разработки был выбран язык Java, а для взаимодействия узлов были выбраны технологии платформы Java – RMI (Remote Method Invocation) [6]. Платформа Java позволяет избежать любых возможных проблем в различии электронных компонентов и цифровых платформ. Виртуальная машина Java (JVM) устанавливается на всех устройствах вычислительной платформы ИВ, что позволяет использовать общий переносимый программный код, который будет преобразован в байт-код для выполнения на каждом устройстве.

#### Результаты исследования и их обсуждение

Для подтверждения работоспособности распределенной вычислительной системы на основе объектов ИВ были проведены следующие эксперименты:

- определение времени решения задачи трассировки в зависимости от количества вычислительных узлов;
- определение времени выполнения одного задания;
- определение зависимости времени выполнения задачи трассировки в зависимости от размера изображения.

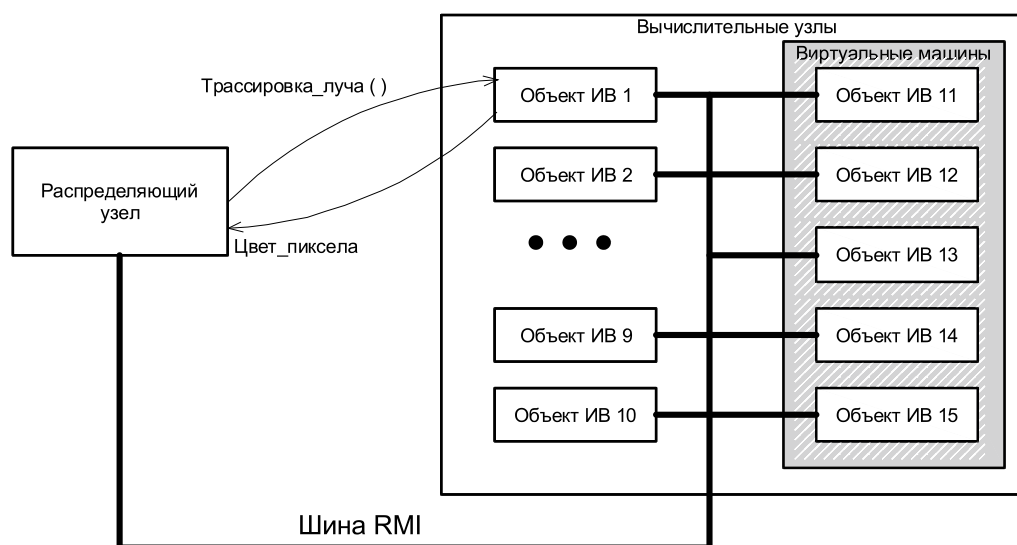


Рис. 3. Архитектура стенда распределенной вычислительной системы на основе объектов ИВ

Для определения времени решения задачи в зависимости от количества вычислительных узлов был зафиксирован размер канвы изображения в 100x100 пикселей, то есть распределяющий узел формирует последовательность из 10 000 заданий, каждое из которых отправляется на вычислительный узел.

Результаты эксперимента приведены на рис. 4, где видно, что при увеличении количества вычислительных узлов в распределенной вычислительной системе время выполнения задачи снижается. При этом видно, что при двух вычислительных узлах время решения задачи аналогично времени при четырех узлах. Так как при двух узлах алгоритм распределения заданий на основе обучения с подкреплением практически не выполняет свою работу, так как у него всего два узла и времени на выбор узла и пересчета параметров модели не тратится – накладные расходы минимальные, но уже при трех узлах накладные расходы становятся существенными по сравнению со временем обработки задачи, поэтому производительность системы падает, что приводит к увеличению времени выполнения задания. После включения четырех узлов и более накладные расходы на распределение становятся незначительными. Начиная от одиннадцати вычислительных узлов, время решения задачи продолжает уменьшаться, но при этом скорость уменьшения снижается.

Для оценки времени выполнения одного задания также использовалось изображение 100x100 пикселей. Замер выполнения задания выполнялся на распределительном

узле, время выполнения, таким образом, включает в себя не только время непосредственной обработки каждого задания на вычислительном узле, но также и время, необходимое для выбора алгоритмом распределения вычислительного узла, а также случаи, когда задание не может быть обработано на том узле, куда оно было направлено, и его необходимо было направить на другой узел для выполнения.

На рис. 5 показана зависимость времени выполнения одного задания от количества вычислительных узлов. Поскольку для двух узлов (как было сказано ранее) накладные расходы минимальны, то можно увидеть, что время исполнения заданий также минимально, так как включает только время непосредственной работы вычислительного узла. При количестве узлов более пяти время выполнения одного задания стабилизируется и начинает приближаться к среднему времени выполнения каждого задания, с учетом времени на накладные расходы. В данном случае можно отметить, что при количестве вычислительных узлов более пяти система находится в стабильном состоянии, то есть время выполнения одного задания не зависит от количества вычислительных узлов.

Для анализа времени выполнения задачи в зависимости от количества заданий была проведена оценка работы алгоритма распределения при обработке изображений от размера 100x100 пикселей до 750x750 пикселей с шагом в 50 пикселей по каждому измерению, при этом количество вычислительных узлов фиксировано десятью. Результаты оценки приведены на рис. 6.



Рис. 4. Время выполнения задачи

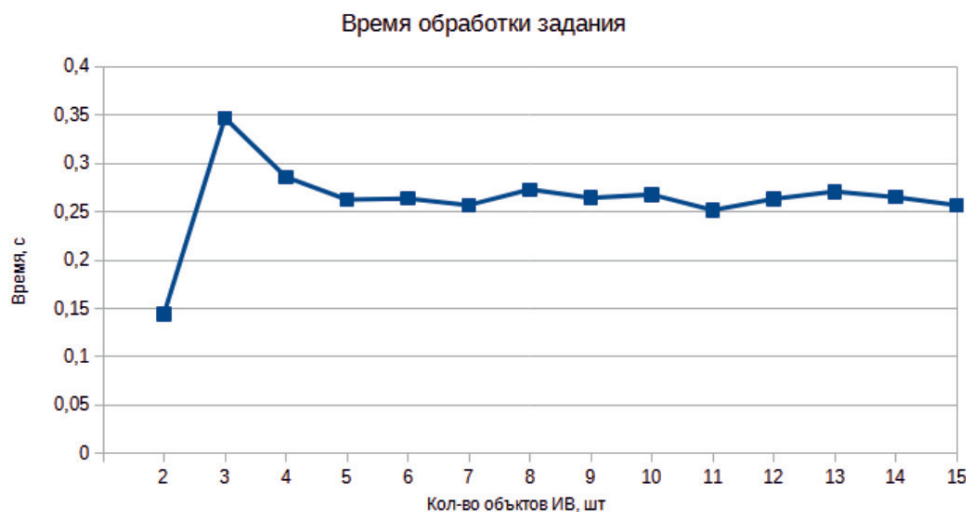


Рис. 5. Время выполнения одного задания



Рис. 6. Время выполнения задачи в зависимости от размера обрабатываемого изображения

Оценка времени выполнения задачи показывает, что при увеличении количества заданий время обработки увеличивается, при этом постепенно время растет быстрее, чем линейно.

Сравнение результатов экспериментов с результатами других исследований [7–10] показывает, что полученные зависимости имеют аналогичный вид и соответствуют зависимостям для обычных параллельных и распределенных вычислительных систем, построенных на основе классических подходов [11, 12], для суперкомпьютерных и облачных систем [13, 14].

В результате проведения эксперимента были построены зависимости общего времени выполнения задачи от количества вы-

числительных узлов, времени выполнения одного задания на вычислительном узле в зависимости от количества узлов в системе, а также зависимость времени выполнения задачи трассировки луча от количества элементов изображений. Результаты экспериментов показали возможность и эффективность реализации распределенной вычислительной системы на основе объектов ИВ.

### Заключение

В работе представлен подход, позволяющий провести построение изображения по модели трехмерного объекта с помощью трассировки луча. В качестве вычислительной была использована распреде-



ленная вычислительная система на основе объектов ИВ.

В качестве решаемой задачи была использована задача построения изображений с помощью трассировки лучей. Данная задача имеет высокую степень распараллеливания, так как каждый пиксел изображения формируется независимо от других.

Использование метода распределения заданий по вычислительным узлам на основе машинного обучения с подкреплением позволяет построить распределенную вычислительную систему, в основе которой лежат гетерогенные вычислительные узлы на основе объектов ИВ.

### Список литературы

1. Ерёмин О.Ю., Степанова М.В. Распределение заданий по узлам вычислительной системы на платформе Интернета вещей на основе машинного обучения // Динамика сложных систем. 2020. Т. 14. № 2. С. 84–92.
2. Степанова М.В., Ерёмин О.Ю. Назначение заданий узлам распределенной системы платформы Интернета вещей на основе машинного обучения с подкреплением // Автоматизация процессов управления. 2021. № 1 (63). С. 27–33. DOI: 10.35752/1991-2927-2021-1-63-27-33.
3. Eremin O., Stepanova M. A Reinforcement Learning Approach for Task Assignment in IoT Distributed Platform. Cyber-Physical Systems: Digital Technologies and Applications (Springer Nature), 2021. P. 385–394. DOI: 10.1007/978-3-030-67892-0\_31.
4. Gambetta G. Computer Graphics from Scratch: A Programmer's Introduction to 3D Rendering. No Starch Press, 2021.
5. Sutton Richard S., Barto Andrew G. Reinforcement learning: an introduction. The MIT Press, 2008.
6. Степанова М.В. Способы реализации взаимодействия между приложениями Интернета вещей // Стратегии исследования в естественных и технических науках: сборник научных трудов по материалам Международной научно-практической конференции 28 июня 2018 г. Белгород: ООО Агентство перспективных научных исследований (АПНИ), 2018. С. 146–153.
7. Dhulipala L., Blelloch G.E., Shun J. Theoretically Efficient Parallel Graph Algorithms Can Be Fast and Scalable. ACM Trans. Parallel Computing. 2021. Vol. 8. Issue 1. DOI: 10.1145/3434393.
8. Nagashima U. et al. An experience with super-linear speedup achieved by parallel computing on a workstation cluster: Parallel calculation of density of states of large scale cyclic polyacenes. Parallel computing. 1995. Vol. 21. № 9. P. 1491–1504.
9. Zhang S. et al. Parallel computation of a dam-break flow model using OpenMP on a multi-core computer. Journal of hydrology. 2014. Vol. 512. P. 126–133.
10. Rautenbach C., Mullarney J.C., Bryan K.R. Parallel computing efficiency of SWAN 40.91. Geoscientific Model Development. 2021. Vol. 14. № 7. P. 4241–4247.
11. M. van Steen, Tanenbaum A.S. Distributed Systems, 3rd ed., distributed-systems.net, 2017.
12. K. Komatsu et al. Performance Evaluation of a Vector Supercomputer SX-Aurora TSUBASA. SC18: International Conference for High Performance Computing, Networking, Storage and Analysis. 2018. P. 685–696. DOI: 10.1109/SC.2018.00057.
13. Shen C., Tong W., Choo K.K.R. et al. Performance prediction of parallel computing models to analyze cloud-based big data applications. Cluster Comput 21. 2018. P. 1439–1454. DOI: 10.1007/s10586-017-1385-3.